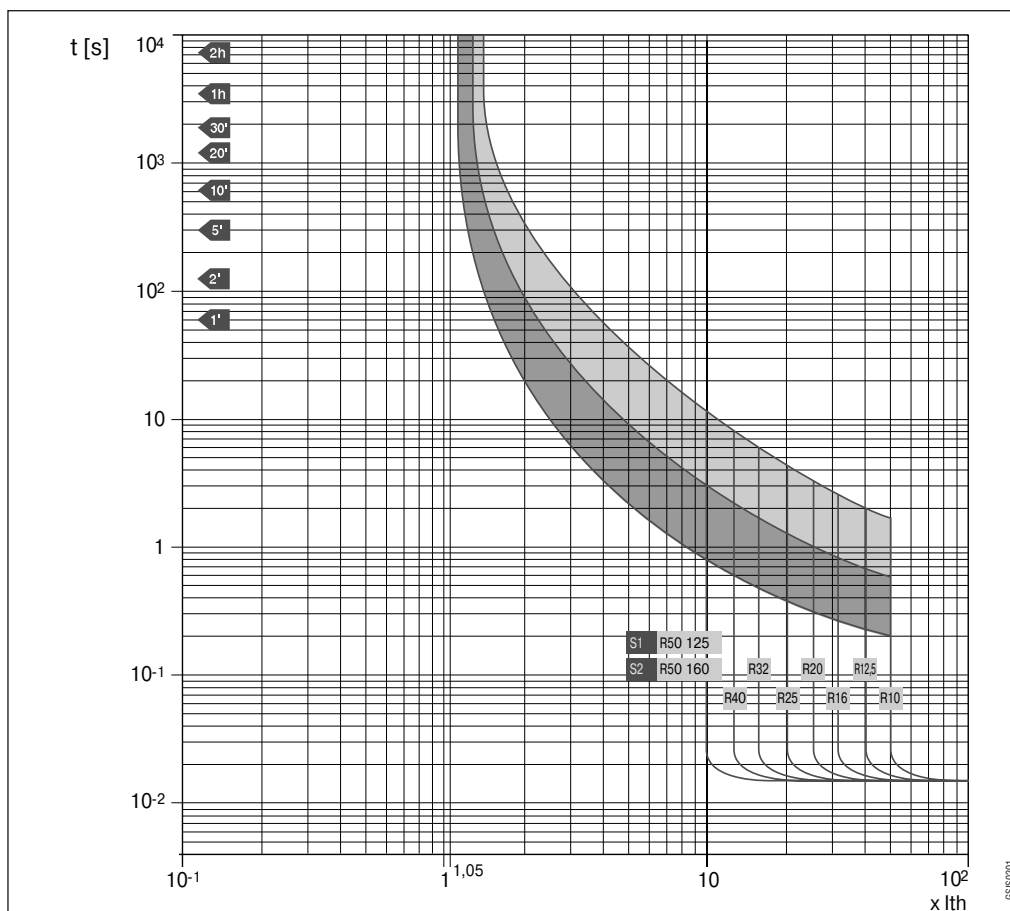


# Кривые срабатывания выключателей для распределительных сетей

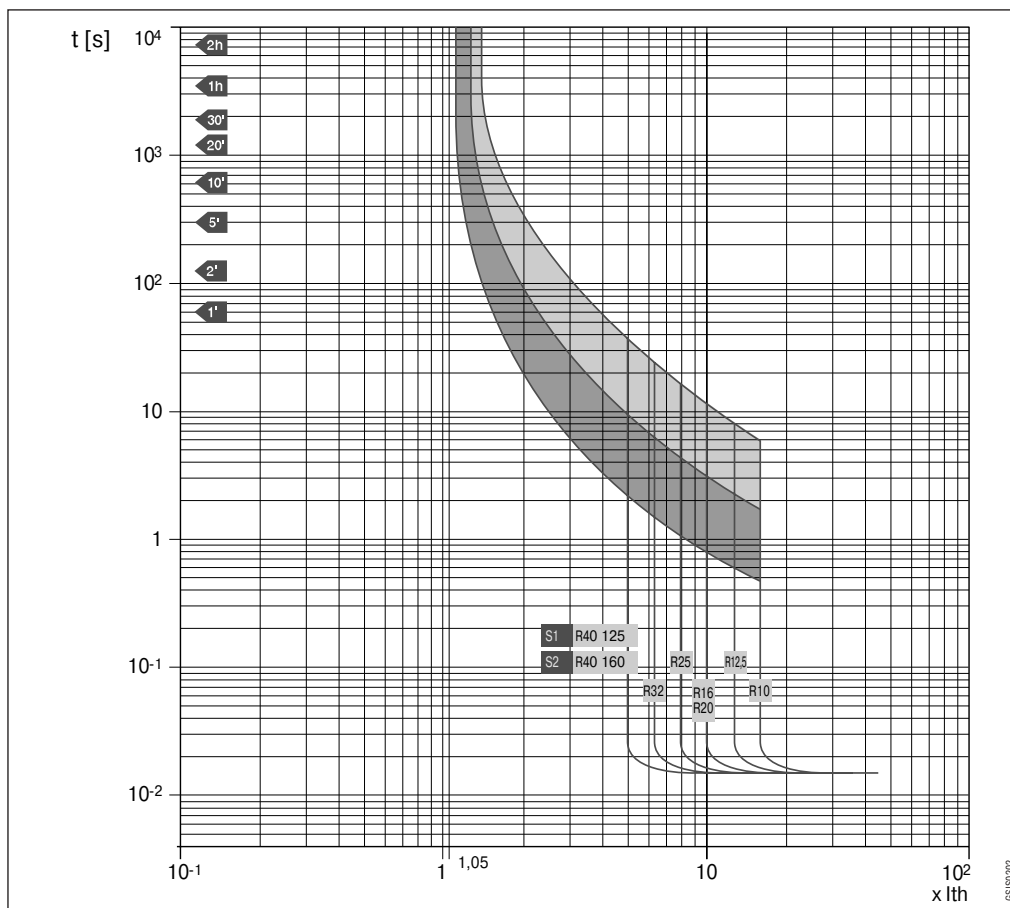
## Автоматические выключатели с термомангнитными расцепителями

Кривые срабатывания выключателей SACE S1 125 - S2 160

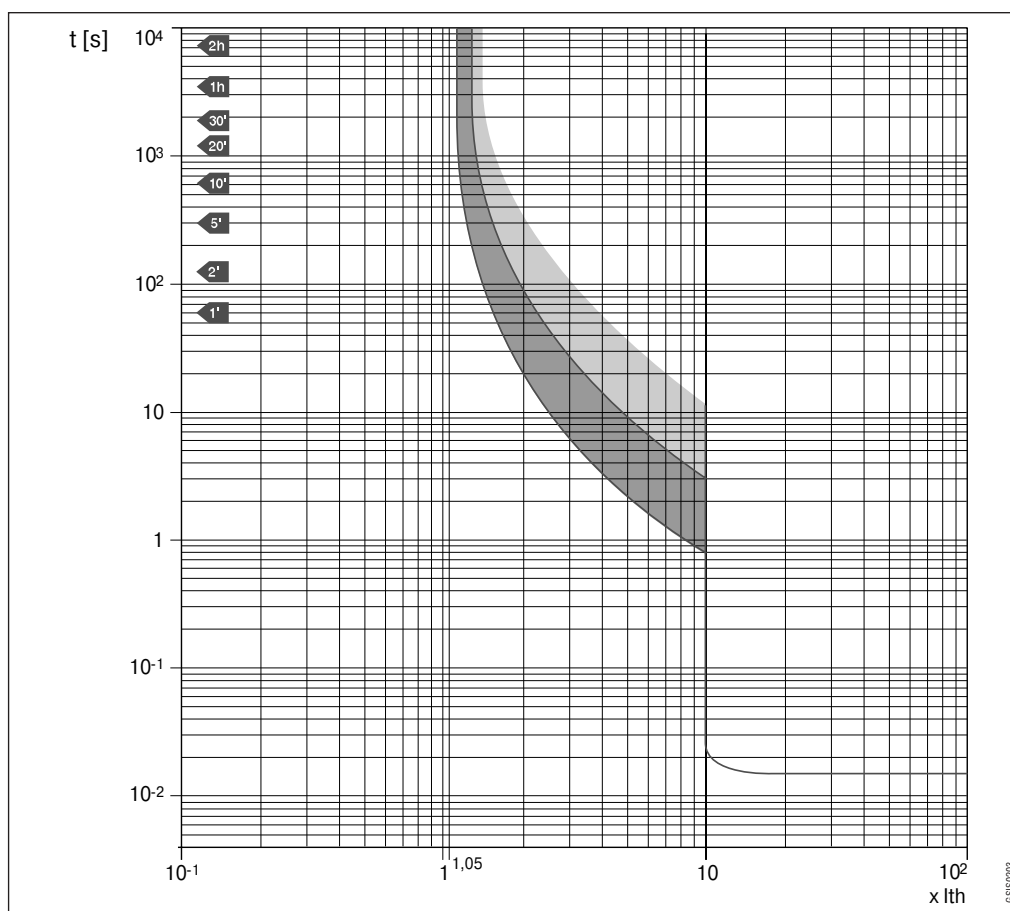
Порог срабатывания электромагнитного расцепителя  $I_m = 10 \times I_{th}$



Порог срабатывания электромагнитного расцепителя  $I_m = 5 \times I_{th}$

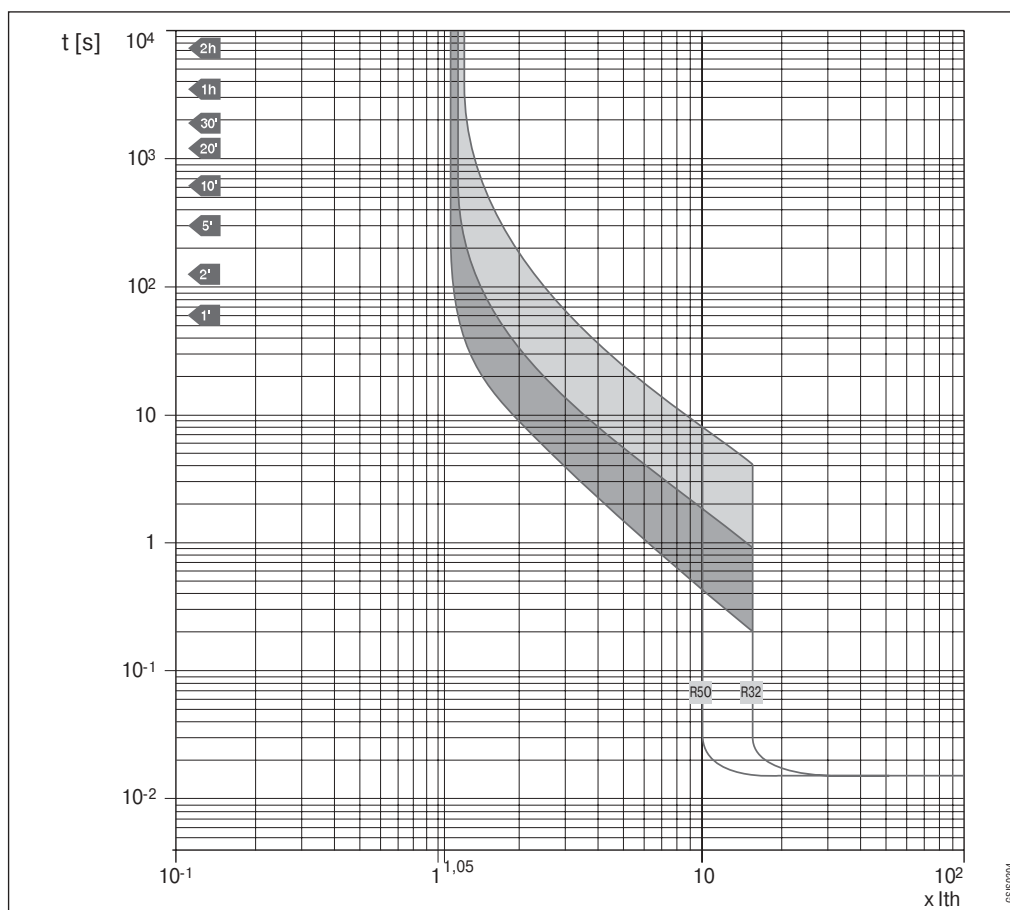


Порог срабатывания  
электромагнитного  
расцепителя  $I_m = 10 \times I_{th}$



### SACE S3 160

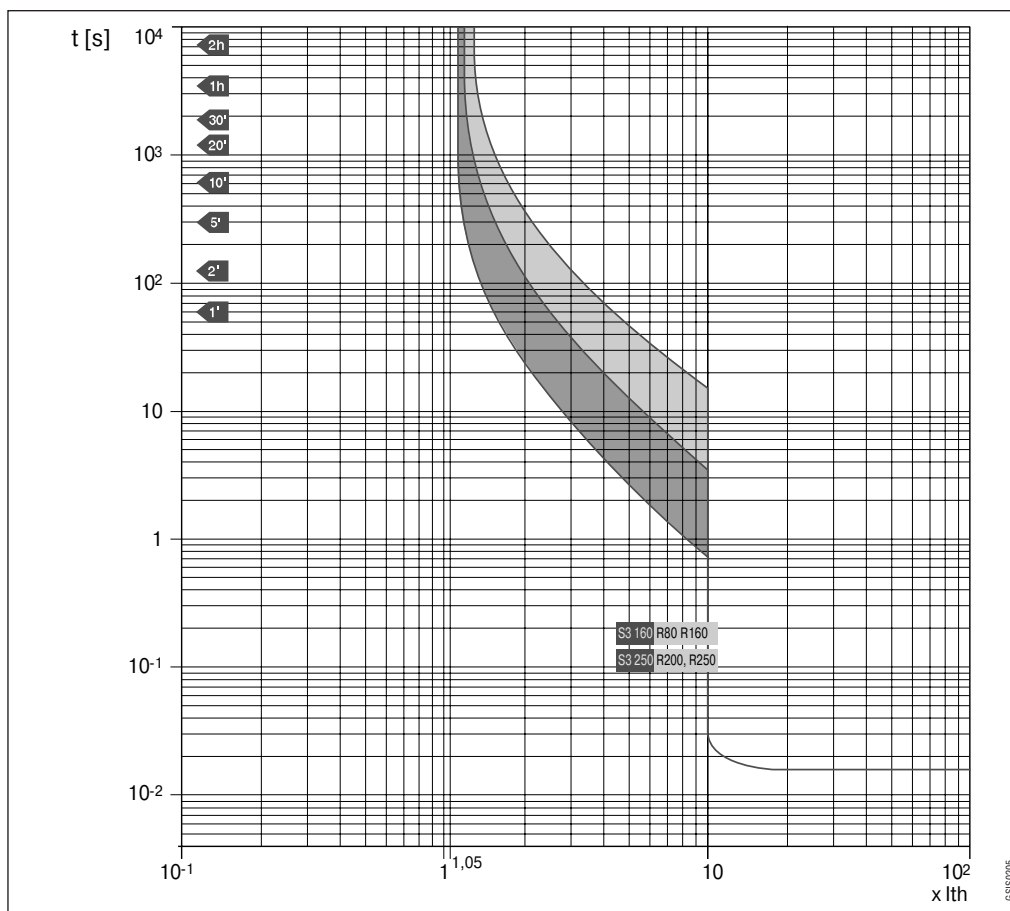
Порог срабатывания  
электромагнитного  
расцепителя  $I_m = 10 \times I_{th}$



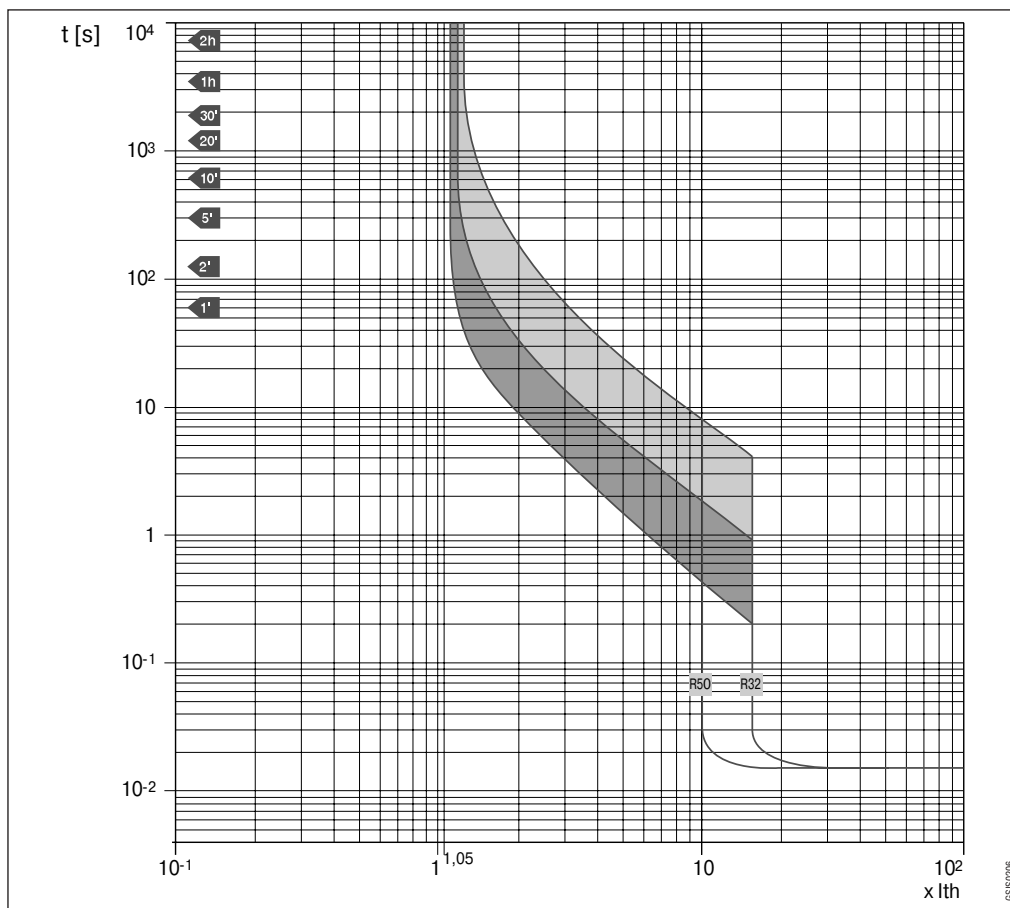
# Кривые срабатывания выключателей для распределительных сетей

## Автоматические выключатели с термомангнитными расцепителями

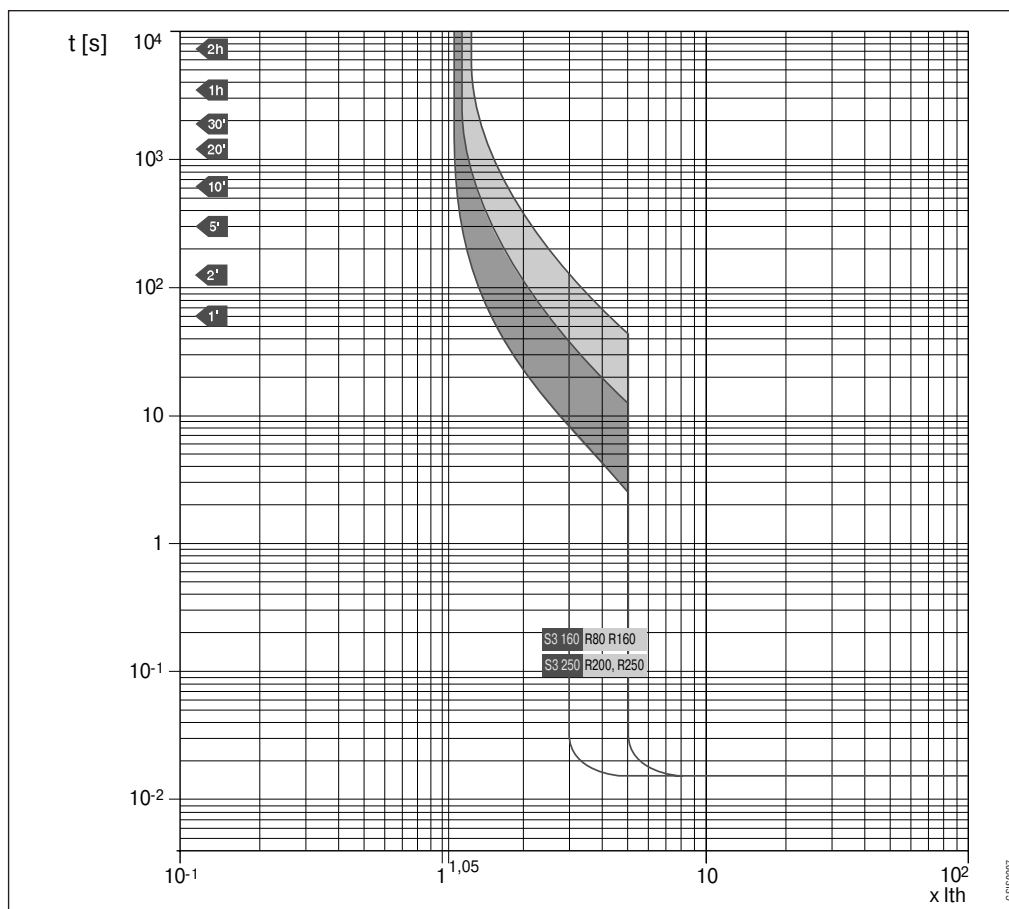
Порог срабатывания электромагнитного расцепителя  $I_m = 10 \times I_{th}$



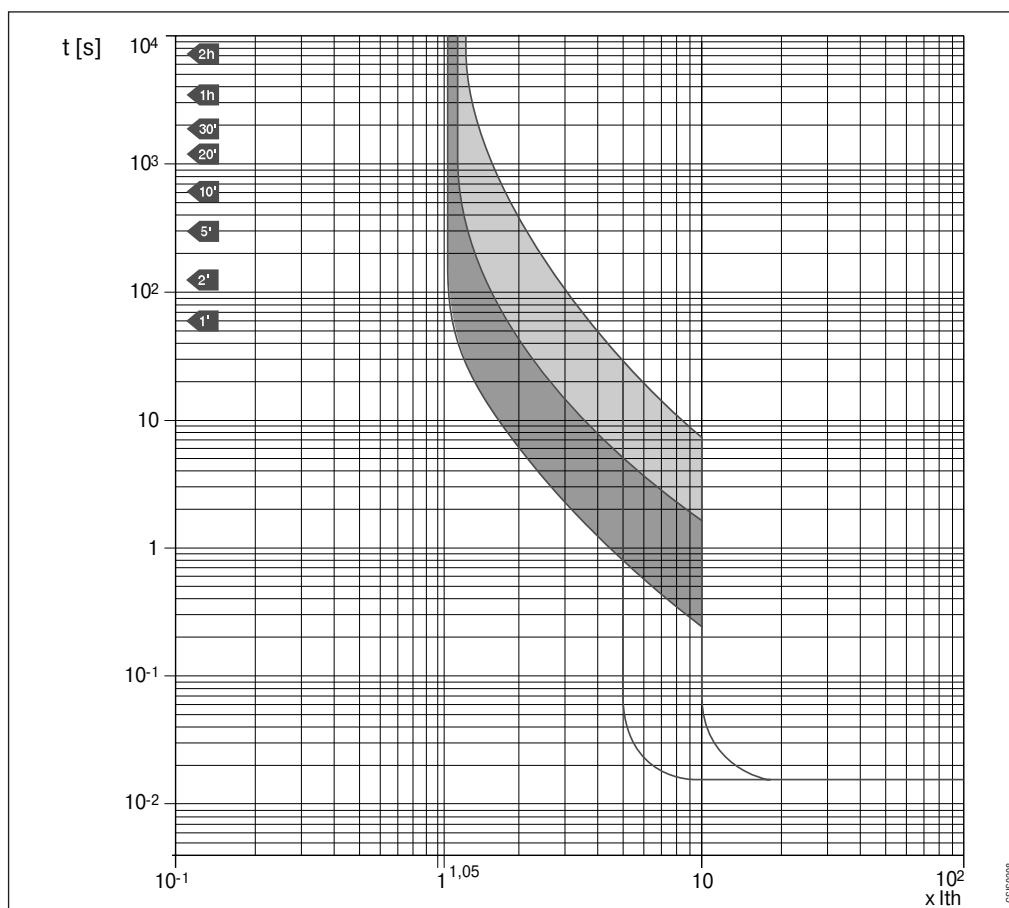
Порог срабатывания электромагнитного расцепителя  $I_m = 5 \times I_{th}$



Порог срабатывания  
электромагнитного расцепителя  
 $I_m = 3 \times I_{th}$ ,  
Порог срабатывания  
электромагнитного  
расцепителя  $I_m = 5 \times I_{th}$



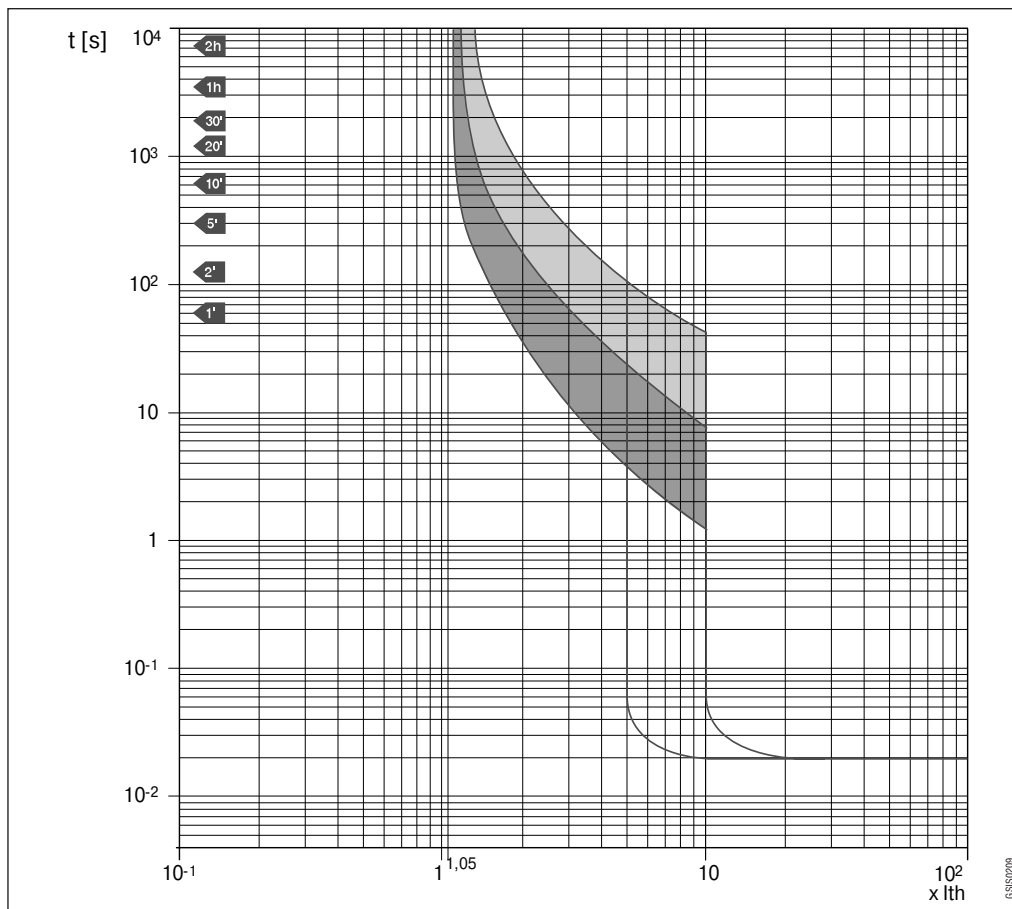
Порог срабатывания теплового  
расцепителя  
 $I_n = 0,7 \div 1 \times I_{th}$   
Порог срабатывания  
электромагнитного  
расцепителя  
 $I_m = 5 \div 10 \times I_{th}$



# Кривые срабатывания выключателей для распределительных сетей

## Автоматические выключатели с термомангнитными расцепителями

с порогом срабатывания  
теплового расцепителя  
 $I_m = 0,7-1 \times I_{th}$  и порогом  
срабатывания  
электромагнитного расцепителя  
 $I_m = 5-10 \times I_{th}$



с порогом срабатывания  
теплового расцепителя  
 $I_m = 0,7-1 \times I_{th}$  и порогом  
срабатывания  
электромагнитного расцепителя  
 $I_m = 5-10 \times I_{th}$

